

В. И. Савчук, к.т.н., доцент, А. В. Евтухов, к.т.н., доцент, А. В. Ивченко, к.т.н., доцент (Сумський державний університет), Д. А. Юсупов (Машинобудівний коледж СумГУ), г. Суми, Україна

# Технологические особенности отделочной обработки конических поверхностей пробок абразивными брусками

**Предложены кинематические схемы отделочной обработки конической поверхности пробки абразивными брусками, совершающими колебательные движения по способу двойной осцилляции, а также устройство для их реализации.**

**Ключевые слова:** способ двойной осцилляции, ударно-циклическая схема обработки, циклическая схема обработки, коническая поверхность, абразивный брускок.

**Запропоновані кінематичні схеми здобовлюваної обробки конічної поверхні пробки абразивними брусками, які здійснюють коливальні рухи за способом подвійної осциляції, а також пристрій для їх реалізації.**

**Ключові слова:** спосіб подвійної осциляції, ударно-циклічна схема обробки, циклічна схема обробки, конічна поверхня, абразивний брускок.

*The kinematic scheme of the conical ground-in stopper surface finishing abrasive machining by stones, that oscillates in double oscillation method, and also device for implementation them.*

*Keywords: double oscillation method, impact-cycling machining scheme, cycling machining scheme, conical surface, abrasive stone.*

**Постановка проблемы в общем виде.** Исполнительные поверхности детали приобретают требуемую точность формы, шероховатость, твёрдость, фактическую площадь прилегания на финишных, доводочных операциях технологического процесса [1, 2]. Практические результаты, анализ патентно-литературных источников показывают, что большинство финишных (доводочных) операций имеют низкую производительность процесса и не всегда обеспечивают заданную чертежом точность формы и шероховатость поверхности [3, 4]. Шлифование, которое сопровождается повышенным теплобразованием, оставляет на поверхности обрабатываемых деталей прижоги, отдельные риски, царапины, формирует неодинаковую шероховатость по всей длине обрабатываемой поверхности [1]. Практически все финишные операции (тонкое шлифование, суперфиниширование, полирование) являются трудоёмкими и не обеспечивают требуемые чертежом точность формы и шероховатость поверхности. Поэтому для повышения производительности обработки, обеспечение требуемых параметров качества поверхности пробок, применяемых в изделиях нефтегазовой аппаратуры, особое внимание необходимо уделить совершенствованию отделочного этапа технологического процесса.

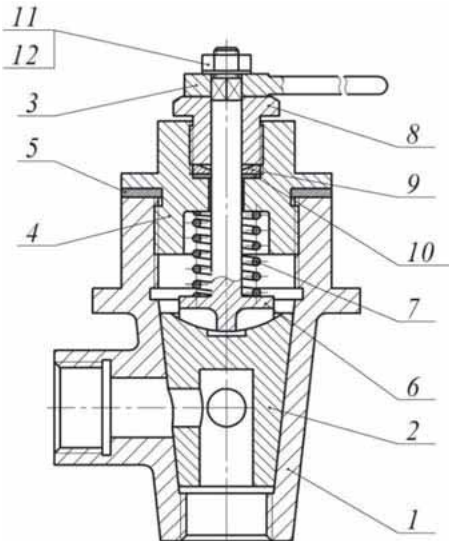
Технология отделочной обработки конических поверхностей пробки и корпуса двухходового крана предусматривает обработку конического отверстия корпуса хонинговальной головкой, у которой конусность равна конусности охватываемой детали. Коническую поверхность пробки обрабатывают шлифованием (черновой и чистовой режимы). Затем выполняется совместная притирка конических поверхностей пробки и отверстия корпуса.

Анализ накопленной научной информации показывает, что известная технология имеет ряд недостатков. После операции шлифования пробки на её поверхности остаются не выведенные следы обработки, шероховатость находится в пределах  $R_a = (0,4 - 0,6)$  мкм. Кроме того, процесс шлифования малоэффективен при исправлении погрешности геометрической формы изделия. Недостатки операции шлифования исправлялись на операции притирки, где поверхности пробки и корпуса притирались совместно. На получение конического пробкового соединения нужного качества взаимной притиркой по такой технологии затрачивается большое количество времени, соответственно, увеличиваются энергетические затраты и себестоимость изготовления изделия. Практические результаты показывают, что такая технология не обеспечивает

100% прилегание по краске поверхностей пробки и корпуса. Поэтому применение в известной технологии прогрессивных отделочных операций, которые обеспечивают низкую, одинаковую шероховатость по всей поверхности детали и позволяют интенсивно исправлять погрешность формы – является актуальным. Применение операции размерного суперфиниширования (по способу двойной осцилляции) [3, 4] вместо операции шлифования позволит устраниć приведенные недостатки и получить поверхность конической пробки более высокого качества. Предлагаемый способ обработки позволит уменьшить трудоёмкость взаимной притирки, обеспечить 100% прилегание по краске конических поверхностей, получить шероховатость поверхности в пределах  $R_a = (0,08 - 0,16)$  мкм и допуск угла конуса притираемых поверхностей  $\pm 20'$ . Такое технологическое решение позволит повысить долговечность и надежность изделий нефтегазовой аппаратуры.

**Анализ последних исследований и публикаций.** Одним из наиболее распространенных изделий нефтеперерабатывающих предприятий Украины является двухходовой кран, который устанавливается на трубопроводах (рис. 1). Газ или жидкость поступает через нижнее отверстие в кран и расходится по трубопроводам. Для изме-

нения площади сечения для прохода газа или жидкости нужно повернуть рукояткой 3 на некоторый угол коническую пробку 2. Чтобы обеспечить герметичность, коническая поверхность пробки 2 притирается к внутренней конической поверхности корпуса 1. Между крышкой 4 и корпусом 1 ставится прокладка 5. Ключ 6 своими выступами входит в пазы пробки 2.



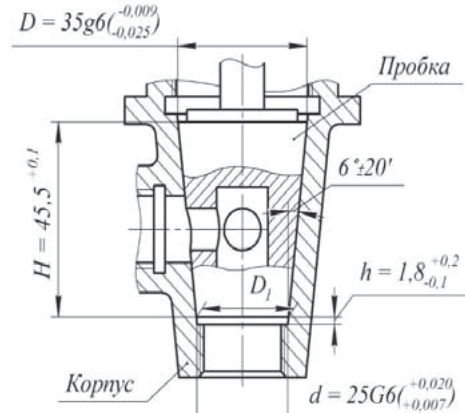
**Рис. 1. Кран двухходовой:**

- 1 - корпус; 2 - пробка; 3 - рукоятка; 4 - крышка; 5 - прокладка; 6 - ключ; 7 - пружина; 8 - гайка; 9 - шайба; 10 - прокладка; 11 - гайка; 12 - шайба

Пружина 7 ставится для надежного прилегания пробки 2 к внутренней конической поверхности корпуса 1. Чтобы исключить возможность просачивания микроскопических объемов топлива, стержень ключа 3 уплотняется прокладкой 10. Свободный поворот ключа регулируется гайкой 8 и шайбой 9. Гайкой 11 и шайбой 12 фиксируется рукоятка 3 на стержне ключа 6. В процессе работы крана жесткость пружины 7 должна обеспечить отсутствие просачивания жидкости или газа между соприкасающимися коническими поверхностями пробки и корпуса. Для регулирования жесткости пружины 7 применяется специальная прокладка 5, толщина которой подлежит расчёту.

Анализ работы двухходового крана выявил различные режимы его работы, при которых должно обеспечиваться одно из основных служебных требований изделия – герметичность конического соединения пробки с корпусом. Требование герметичности предусматривает назначение точности размеров и форм сопрягаемых поверхностей, которые должны быть обеспечены при сборке изделия (рис. 2).

стей, которые должны быть обеспечены при сборке изделия (рис. 2).

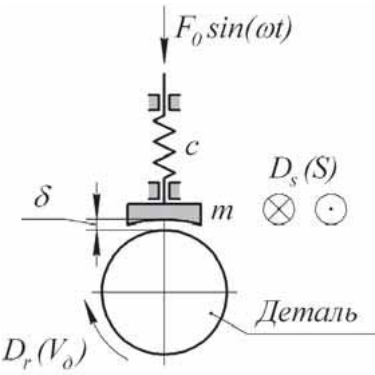


**Рис. 2. Эскиз узла корпуса крана с пробкой**

В производственных условиях требуемая посадка конических поверхностей не рассчитывается и реализуется при раздельной обработке конических поверхностей пробки и корпуса. Технологический процесс обработки конической пробки на финишном этапе включает операции чистового точения (7 квалитет размерной точности,  $R_a = 2,5 \text{ мкм}$ ), шлифования чернового (7 квалитет размерной точности,  $R_a = 0,8 \text{ мкм}$ ) и чистового (6 квалитет размерной точности,  $R_a = 0,4 \text{ мкм}$ ). Ранее отмечено, что шлифование не обеспечивает качество поверхностного слоя и требуемой геометрической формы поверхности. Предлагается заменить операцию шлифования операцией суперфиниширования абразивными брусками, которая выполняется по способу двойной осцилляции [5].

**Изложение основного материала исследования.** Структура отдельной операции, которая выполняется по способу двойной осцилляции брусков, состоит из двух переходов. На первом переходе реализуется ударно-циклическая схема резания абразивными брусками (схема №1). Обработка пробки выполняется бруском, колеблющимся радиально к обрабатываемой поверхности. Контакт абразивного бруска с обрабатываемой поверхностью происходит с наличием ударного импульса, который регламентирует глубину проникновения абразивных зерен в металл.

Динамическую модель ударно-циклической схемы резания можно представить в виде инструмента (брюска) массой  $m$ , на которую через пружину с жесткостью  $c$  периодически действует сила  $F = F_0 \sin(\omega t)$  (см. рис. 3).



**Рис. 3. Ударно-циклическая схема резания (схема №1)**

Бруском массой  $m$ , под действием силы  $F$ , приложенной к нему через пружину с жесткостью  $c$ , совершает колебания и ударяется о поверхность детали, которая вращается со скоростью  $V_d$ . Свободный ход бруска происходит в пределах зазора  $\delta$ , величина которого устанавливается с учётом оптимальных режимов обработки. В соприкосновении брусков и деталь находятся некоторое время, за которое изменяется сила прижатия. Величина силы прижатия изменяется в зависимости от величины жесткости с пружиной. Время контакта бруска с деталью зависит от величины зазора  $\delta$  и амплитуды колеблющейся массы  $m$ . После сжатия и последующего разжима пружины начинается отвод бруска в исходное положение, при котором восстанавливается исходный зазор  $\delta$ . Если длина обрабатываемой поверхности пробки больше длины бруска, то инструменту дополнительно сообщают возвратно-поступательные движения  $D_s$  вдоль оси вращения заготовки. Для описания процесса обработки по ударно-циклической схеме резания необходимо определить закон движения массы  $m$ . Динамическая модель процесса обработки представляет систему с одной степенью свободы, а её уравнение движения имеет вид:

$$m \frac{d^2x}{dt^2} = F_0 \cdot \sin(\omega \cdot t) - c \cdot x. \quad (1)$$

Вводим обозначения:  $\frac{F_0}{m} = q$ .

$\frac{c}{m} = p^2$ . Уравнение (1) принимает вид:

$$\frac{d^2x}{dt^2} + p^2 \cdot x = q \cdot \sin(\omega \cdot t). \quad (2)$$

Частное решение уравнения (2) можно представить в виде:

$$x = b \cdot \sin(\omega \cdot t), \quad (3)$$

где  $b$  – амплитуда радиальных колебаний бруска.

Подставляя (3) в (2) и выполнив ряд преобразований, имеем:

$$q = b \cdot (p^2 - \omega^2). \quad (4)$$

Преобразуем зависимость (4) через принятые обозначения и получим закон движения массы  $m$ :

$$x = \frac{F_0}{c - m \cdot \omega^2} \cdot \sin(\omega \cdot t). \quad (5)$$

Амплитуда колебаний массы  $m$  равна:

$$x = \frac{F_0}{c - m \cdot \omega^2}. \quad (6)$$

Из приведенной схемы (см. рис. 3) видно, что зазор  $\delta$  выбирается из условия:

$$\delta < \frac{F_0}{c - m \cdot \omega^2}. \quad (7)$$

Момент контакта инструмента с заготовкой характеризуется силой удара (рис. 4), который происходит в пределах времени ( $t_1 - t_2$ ). Максимальная сила удара  $F_{y \max}$  определяется по формуле:

$$F_{y \max} = m \cdot \frac{d^2 x}{dt^2}. \quad (8)$$

Если

$$\begin{aligned} \frac{d^2 x}{dt^2} &= b \cdot \omega^2 \cdot \sin[\omega \cdot (t_1 - t_2)] = \\ &= \frac{F_0 \cdot \omega^2}{c - m \cdot \omega^2} \cdot \sin[\omega \cdot (t_1 - t_2)], \end{aligned} \quad (9)$$

то

$$F_{y \max} = \frac{m \cdot F_0 \cdot \omega^2}{c - m \cdot \omega^2} \cdot \sin[\omega \cdot (t_1 - t_2)]. \quad (10)$$

После удара инструмент находится в контакте с деталью. За период времени ( $t_1 - t_2$ ) величина жёсткости пружины изменяется, тогда максимальную силу прижатия бруска к детали  $F_{n \max}$  можно рассчитать по формуле:

$$\begin{aligned} F_{n \max} &= c \cdot (x - \delta) = \frac{c \cdot F_0}{c - m \cdot \omega^2} \times \\ &\times (\sin(\omega \cdot t_2) - \sin(\omega \cdot t_3)). \end{aligned} \quad (11)$$

Обработку заготовок способом двойной осцилляции по ударно-циклической схеме резания можно рассматривать в пределах одного радиального колебания инструмента или за время обработки одной детали. В работе [6] отделочная

обработка брусками характеризуется изменением сил удара и прижатия бруска на заготовку за период одного радиального колебания в пределах одного рабочего цикла. Под рабочим циклом процесса необходимо понимать изменение величины удельной силы, действующей на рабочую поверхность бруска в единицу времени при обработке заготовки. В рабочем цикле ударно-циклической схемы резания можно выделить пять этапов, которые отличаются характером изменения величины силы  $F$  (рис. 4).

Этап 1: подвод бруска (интервал времени  $(0 - t_1)$ ). Этап 2: удар (интервал времени  $(t_1 - t_2)$ ). Этап 3: нажатие бруска силой, изменяющейся в интервале времени  $(t_2 - \pi/\omega)$ . Этап 4: нажатие бруска силой, изменяющейся в интервале времени  $(\pi/\omega - t_3)$ . Этап 5: отвод бруска (интервал времени  $(t_3 - 2\pi/\omega)$ ).

Время выполнения отдельных этапов цикла может регулироваться в зависимости от требований, предъявляемых процессом резания. Например, в период времени  $(t_1 - t_3)$  выполняются второй, третий и четвёртый этапы рабочего цикла. Второй этап характеризуется наличием ударного импульса, который возникает в начальный момент контакта бруска с деталью. Сила удара способствует восстановлению режущей способности абразивных зёрен бруска за счёт образования и замены затупившихся острых граней. Сила прижатия, которая изменяется по гармоническому закону, способствует повышенному внедрению активной части режущих зёрен в поверхность слоя металла и участию большего количества абразивных зёрен в резании. Первый и пятый этапы характеризуются наличием зазора между поверхностями детали и бруска, в который прони-

кает СОЖ, препятствующей «засаливанию» рабочей поверхности инструмента [7].

Изменением величины зазора  $\delta$  и амплитуды колебаний  $b$ , можно варьировать временем контакта тк бруска с деталью. Время контакта зависит от величины зазора  $\delta$ . Уменьшение зазора  $\delta$  повышает время контакта бруска с деталью и увеличивает производительность обработки. Увеличение зазора  $\delta$  повышает величину силы удара бруска об обрабатываемую поверхность и способствует самозатачиванию абразивных зерен. Оптимальное изменение зазора в заданном диапазоне позволяет управлять производительностью процесса при условии постоянства режущих свойств абразива. Это особенно важно при обработке материала конической пробки, которая изготавливается из сплава БрОСЦ5-5-5, имеющего специфические физико-механические характеристики [8].

В работах [4, 6, 7] отмечено, что обработанная по ударно-циклической схеме резания поверхность имеет матовый оттенок с короткими и чёткими прямыми краями царапин, оставленных абразивными выступами зёрен бруска. В работе [6] приведены зависимости скорости съёма металла и величины шероховатости поверхности от режимов резания, по которым можно прогнозировать требуемые показатели процесса и качества поверхности.

Операционная наладка для обработки пробки по ударно-циклической схеме резания с периодическим зазором между поверхностями заготовки и бруска приведена на рис. 5.

Бруск 1, поджатый пружиной 2, установлен относительно поверхности детали 3 с зазором  $\delta$ . Деталь 3 вращается с частотой  $n_d$ , а бруск 1 колеблется с частотой  $n_r$

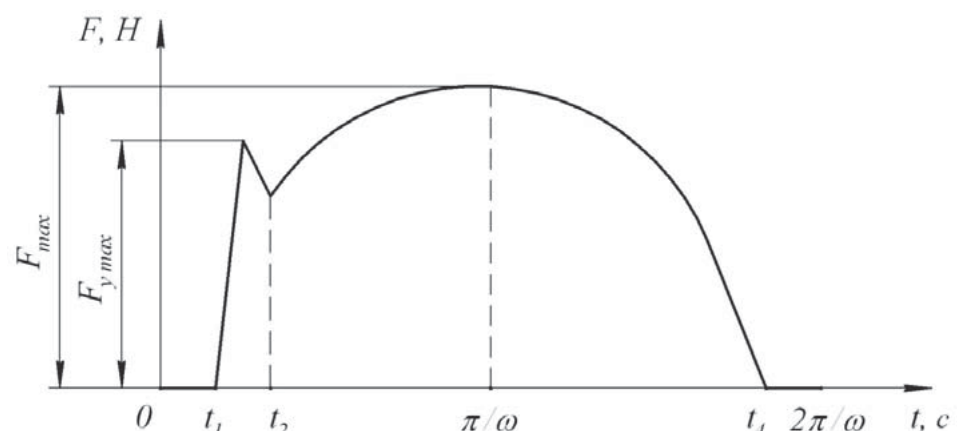
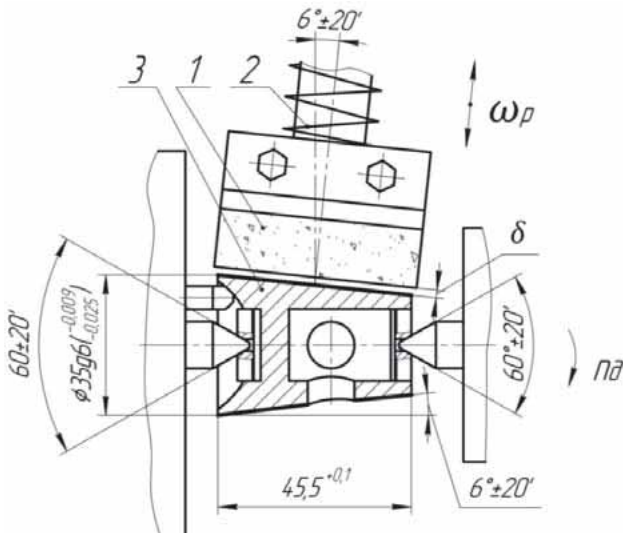


Рис. 4. Рабочий цикл ударно-циклической схемы резания



**Рис. 5. Наладка на операцию для обработки пробки по ударно-циклической схеме резания (схема №1):**

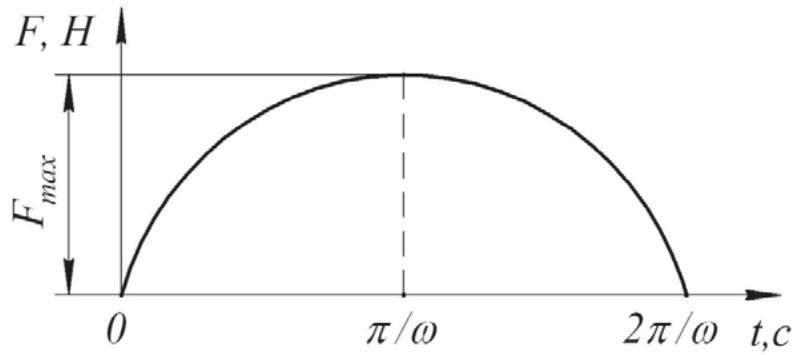
1 – бруск; 2 – пружина; 3 – деталь

радиально к поверхности детали. Радиальные колебания инструмента выполняются в пределах зазора  $\delta$ . Период контакта бруска с деталью выполняется с дополнительной деформацией пружины. Деформация пружины осуществляется за счет амплитуды радиальных колебаний бруска, которая больше величины установленного зазора  $\delta$ . Так как длина бруска больше длины обрабатываемой поверхности пробки, то обработка выполняется без возвратно-поступательного движения инструмента [7].

Расчетно-теоретическим исследованием [7] установлено, что на производительность процесса влияет длительность контакта  $t_k$  бруска с деталью. Оптимальная длительность контакта определяет максимальную производительность и постоянную шероховатость поверхности, которые зависят от характеристики шлифовального бруска. Время контакта  $t_k$  определяется по формуле [5]:

$$t_k = \frac{2}{\omega_p} \cdot \pi - \arccos 1 - \frac{\delta}{b} . \quad (12)$$

На втором переходе операции применялась циклическая схема резания. В циклической схеме резания отсутствует ударный импульс, а изменение силы прижатия происходит за счёт деформации пружины. Чтобы обеспечить шероховатость поверхности  $R_a \leq 0,1$  мкм, радиальные колебания инструмента выполняются без зазора ( $\delta = 0$ ) между бруском и заготовкой. Бруск совершают пульсирующие радиальные колебания, которые изменяют силу нажатия на поверхность заготовки [7]. Рабочий цикл



**Рис. 6. Рабочий цикл циклической схемы резания (схема №2)**

циклической схемы резания (схема №2) приведен на рис. 6.

Зёरна бруска работают в режиме упругопластического оттеснения металла и микроскопическое

скользование их кромок отсутствует. На рабочей поверхности бруска появляются плоские площадки износа, которые способствуют получению низкой шероховатости поверхности  $R_a = (0,08 - 0,16)$  мкм. Наладка на операцию для обработки конической поверхности пробки по циклической схеме резания представлена на рис. 7.

Для обработки конической поверхности пробки по ударно-циклической и циклической схемам резания разработано специальное устройство, которое устанавливалось на модернизированный суперфинишный станок модели ЗД870Б (см. рис. 8) [8].

Суппорт станка имеет две специальные каретки 1 и 2, расположенных на плате 3 [10]. На каретку 1 устанавливается специальное устройство 4 для обработки способом двойной осцилляции (СДО). Каретки 1 и 2 приводились в колебательные движения навстречу друг другу механизмом осциллирования осевых колебаний (на рисунке механизм не показан), что исключало вибрации станка. На каретке 2 располагался противовес 5, либо другое специальное устройство 4, что позволяло обрабатывать одновременно две заготовки.

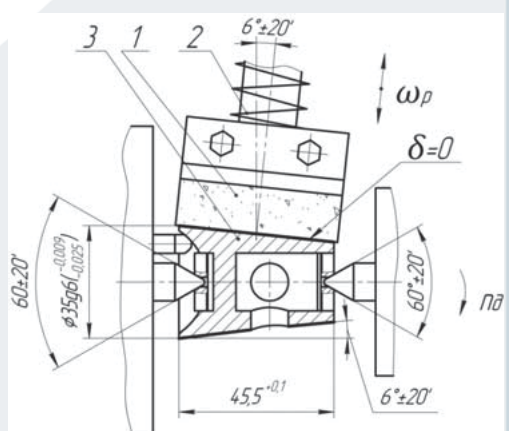
Для работы станка по ударно-циклической и циклической схемам резания механизм осцилляции осевых колебаний инструмента отключался, и колебательные движения кареток отсутствовали.

При обработке конической поверхности пробки плиту 3 разворачивают на угол конуса  $6^\circ \pm 20'$  винтами 6 и 7 по лимбу 8, для

чего необходимо предварительно отпустить гайки 9 и 10.

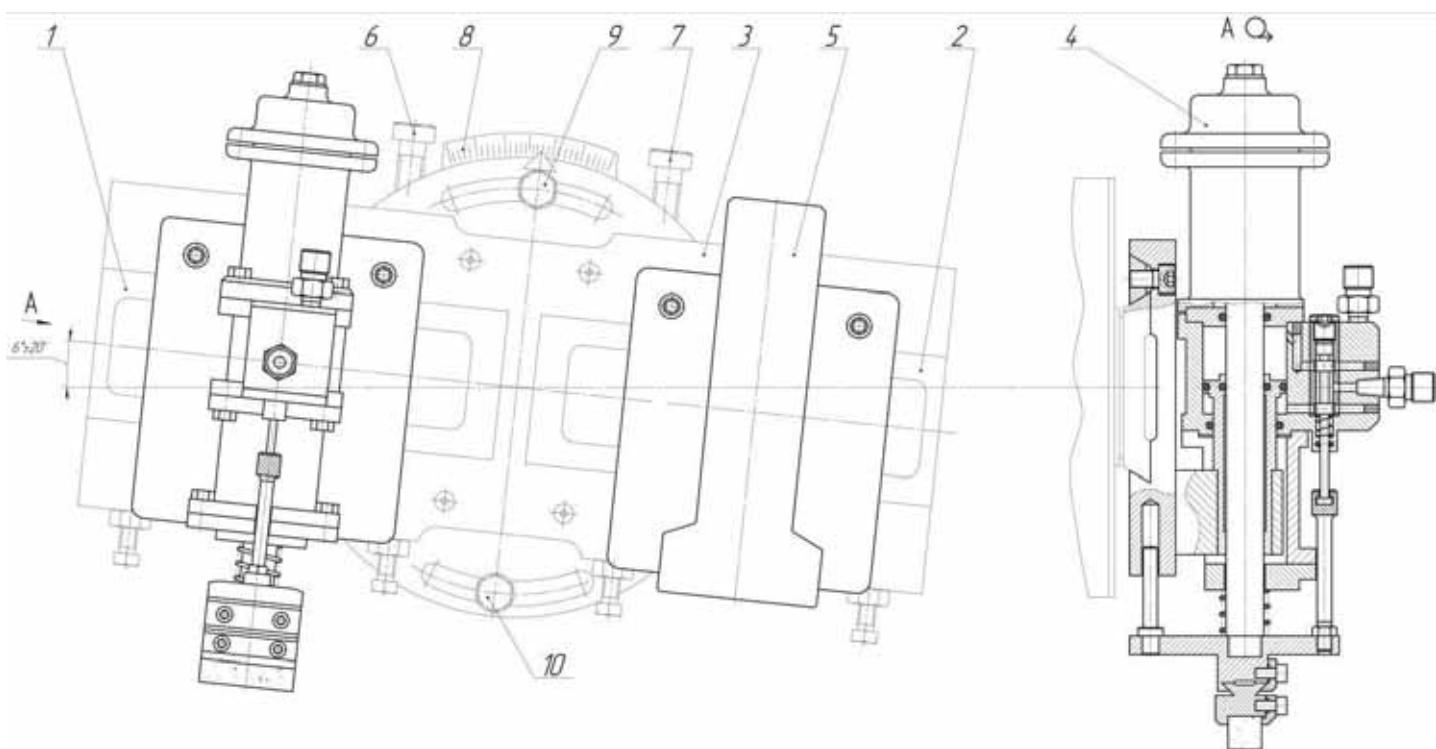
Важным фактором, влияющим на съём металла и шероховатость поверхности, являются силовые нагрузки инструмента в момент контакта бруска с деталью. На деталь со стороны бруска действуют силы удара и прижатия. Величины этих сил и их соотношение зависят от зазора  $\delta$ , который предварительно устанавливается между бруском и деталью, и амплитуды в радиальных колебаний. По рекомендациям работы [9], оптимальными являются зазор  $\delta = 1,0$  мм и амплитуда  $b = 1,5$  мм, при которых обеспечивается минимальное скользование абразивных зёрен бруска и их наибольшее проникновение в поверхность металла.

Сила прижатия выбирается в зависимости от характеристики бруска и марки обрабатываемого металла. Оптимальной характеристикой бруска при обработке бронзы является абразивный бруск 63СМ40СТ1К6 [7]. Обработка металлов из бронзы показывает, что при давлении  $p_0 = 0,08$  МПа на поверхности бруска отсутствуют следы «засаливания» или схватывания частиц металла с абразивом. Это способствует эффективному



**Рис. 7. Наладка на операцию для обработки пробки по циклической схеме резания (схема №2):**

1 – бруск; 2 – пружина; 3 – деталь



**Рис. 8. Устройство для обработки конической поверхности пробки**

резанию металла и хорошему само-затачиванию зёрен абразива. При давлении  $p_0 = 0,12$  МПа на поверхности бруска обнаруживаются налипшие частицы металла, что свидетельствует о повышенной величине силы нажатия.

Оптимальное время контакта бруска с деталью составило  $t_{\text{к}}=0,15$  с что соответствует скорости съёма металла  $Q = 1,5 \text{ мм}^3/\text{с}$ , а шероховатость поверхности составила  $R_a = 0,36 \text{ мкм}$ .

Режимы резания при обработке по ударно-циклической схеме: давление бруска  $p_0 = 0,08$  МПа; амплитуда радиальных колебаний  $b = 1,5 \text{ мм}$ ; зазор между бруском и обрабатываемой поверхностью  $\delta = 1,0 \text{ мм}$ ; окружная скорость

детали  $V_d = 0,12 \text{ м/с}$ ; частота радиальных колебаний  $\omega_r = 37 \text{ с}^{-1}$ .

Режимы резания при обработке по циклической схеме резания:  $p_0 = 0,05 \text{ МПа}$ ,  $\delta = 0$ ,  $V_d = 0,25 \text{ м/с}$ ;  $\omega_r = 26 \text{ с}^{-1}$ ,  $Q = 0,1 \text{ мм}^3/\text{с}$ ,  $t_{\text{к}}=\text{const}$  за период обработки заготовки.

Припуск на операцию составил 20 мкм. По переходам (схемам резания) припуск распределился следующим образом: первый переход – 90% (18 мкм), второй переход – 10% (2 мкм) [6]. В работе [7] приведены результаты исследований, которые показали, что отключение радиальных колебаний при обработке бронзы БрОЦ5-5-5 приводит к образованию шлама на рабочей поверхности абразивного

брusка. Однако припуск на втором переходе составляет всего 2 мкм и за время обработки поверхности не наблюдалось негативные последствия, указанные ранее. Следовательно, обработка по циклической схеме резания позволяет снизить шероховатость поверхности до значений, требуемых чертежом детали.

Представленные результаты промышленных исследований [6, 7] ударно-циклической и циклической схем резания, даёт основание рекомендовать их (по шероховатости, производительности, геометрической форме) для обработки конической поверхности пробки из материала марки БрОЦ5-5-5 (табл. 1).

**Таблица 1. Основные показатели обработки конической поверхности способом двойной осцилляции по предлагаемым схемам**

Показатели обработки поверхности пробки способом двойной осцилляции	Обработка по ударно-циклической схеме резания с зазором $\delta > 0$	Обработка по циклической схеме резания без зазора $\delta = 0$
Шероховатость $R_a$ , мкм	0,4 – 0,32	0,2 – 0,12
Производительность $Q$ , $\text{мм}^3/\text{с}$	2,8 – 2,6	0,5 – 0,3
Геометрическая форма $\Delta$ , мкм	8 – 9	3 – 4

#### **Выводы:**

1. Отделочную обработку конической поверхности пробки предлагается выполнять способом двойной осцилляции брусков. В структуре операции необходимо предусмотреть два технологических перехода, в которые включить ударно-циклическую и циклическую

схемы резания.

2. С целью практической реализации ударно-циклической и циклической схем резания для обработки конической поверхности пробки был модернизирован станок для суперфиниширования модели ЗД870Б.

3. Для обработки пробки из

материала БрОЦ5-5-5 спроектировано специальное устройство, которое позволяет реализовать предложенные схемы резания.

4. Предложены оптимальные режимы резания для обработки пробки по способу двойной осцилляции брусков.

**Список литературы:**

1. Кремень, З. И. Хонингование и суперфиниширование деталей / З. И. Кремень, И. Х. Стратиевский. – Л.: Машиностроение, 1988. – 137с.
2. Руденко, П. А. Отделочные операции в машиностроении / П. А. Руденко, М. П. Шуба, В. А. Огиновец – узд. 2-е, перераб. и доп. – Киев: Техника, 1990. – 150 с.
3. Савчук, В. И. Особенности кинематики бруска, колеблющегося во взаимно перпендикулярных плоскостях / В. И. Савчук, А. В. Гришкевич, В. Л. Горбенко // Резание и инструмент. – Харьков : Вища школа, 1978. – Вып. 19. – С. 54 – 58.
4. Савчук, В. И. Обрабатываемость материалов вибрирующими абразивными брусками / В. И. Савчук, А. В. Гришкевич // Обработка конструкционных материалов резанием с применением СОЖ. – М.: – 1978. – С. 55 – 58.
5. А. с. 704769 СССР, М. кл. В 24 В 35/00. Способ отделочной обработки абразивным бруском / В. И. Савчук, А. В. Гришкевич, В. Л. Горбенко // Открытия. Изобретения. Промышленные образцы. Товарные знаки. – 1979. – Бюл. №19.
6. Гришкевич, А. В. Исследование размерной суперфинишобработки деталей машин: автореф. дис. ... канд. техн. наук: спец. 05.02.08 / А. В. Гришкевич. – Харьков, 1975. – 23 с.
7. Савчук, В. И. Исследование технологических особенностей отдельочной обработки валов способом двойной осцилляции брусков: дис. ... канд. техн. наук: 05.02.08 / Савчук Владимир Иванович. – Челябинск, 1981. – 179 с.
8. Савчук, В. И. Методика расчёта оптимальных характеристик суперфинишных устройств / В. И. Савчук // Вісник СумДУ. – 2000. – №19. – С. 135 – 141.
9. Гришкевич, А. В. О некоторых закономерностях рельефа брусков при ударно-циклической схеме микрорезания / А. В. Гришкевич, С. В. Барнев, В. Л. Горбенко // Резание и инструмент. – Харьков, вып. 17. – 1977. – С. 70 – 73.
10. Мазальский, В. Н. Суперфинишные станки / В. Н. Мазальский. – 2-е изд., перераб. и доп. – Л.: Машиностроение, 1988. – 127 с.

**Новации и инновации**

На правах рекламы

## Масла «Компреол»

Как известно, диагностика – это предупреждение и профилактика неисправностей, а при уже возникшей проблеме это первый шаг к ее исправлению. Без сомнения, при всей своей сложности устройства современного компрессорного оборудования, компрессорный блок, будь-то поршневой, винтовой или роторный, не перестает быть его самой главной частью, сравнение которой с сердцем организма уже давно стало общепринятым. Поэтому диагностика компрессорного блока является очень важной составляющей эксплуатации оборудования. Ведь именно от исправности и отличного состояния оборудования зависит прибыльность и бесперебойность работы производства. Следует заметить, что при правильном использовании, современное оборудование может служить долго и надежно, однако же, человечество пока еще не изобрело как вечного двигателя, так и вечного оборудования, и при любых условиях эксплуатации износ тех или иных элементов механизма будет существовать всегда. Особенно, это касается деталей, взаимодействующих друг с другом во время работы. Естественный процесс трения, повышенные температуры способствуют быстрому износу деталей и может привести к серьезной поломке. Диагностика призвана своевременно обнаружить или спрогнозировать неисправность с целью ее устранения.

С целью сохранения труящихся друг о друга деталей в работоспособном состоянии как можно дольше, в оборудовании используется масло. В компрессорном оборудовании масло занимает важное, можно сказать особое, место, как один из основных узлов, наряду с такими деталями, как коленчатый вал, клапан и др. В процессе развития технологий, масла постоянно совершенствовались, дорабатывались, и сегодня на рынке можно найти большое разнообразие такого товара, как универсального, так и узкоспециализированного. Каждая компания пытается выпустить линейку масел



с оригинальными свойствами, используя определенные присадки. От правильного подбора масла зависит долговечность и работоспособность оборудования, в частности, компрессорного.